

بررسی فعالیت و پایداری آنزیم لاکاز آزاد ثبت شده در حضور

کانی‌های مونتموریلونیت و زئولیت

حديثه رحماني، امير لکزيان^۱، علیرضا کريمي و اکرم حلاج نيا

دانشجوی دکتری گروه علوم خاک، دانشکده کشاورزی، دانشگاه فردوسی مشهد؛ ha.rahmani@stu.um.ac.ir

استاد گروه علوم خاک، دانشکده کشاورزی، دانشگاه فردوسی مشهد؛ lakzian@um.ac.ir

دانشیار گروه علوم خاک، دانشکده کشاورزی، دانشگاه فردوسی مشهد؛ karimi-a@um.ac.ir

استادیار گروه علوم خاک، دانشکده کشاورزی، دانشگاه فردوسی مشهد؛ halajnia@ferdowsi.um.ac.ir

دریافت: ۹۴/۸/۲۰ و پذیرش: ۱۲/۷/۹۵

چکیده

آنزیم لاکاز از گروه مهمترین آنزیمهایی است که در سال‌های گذشته به سبب توانایی آن در اکسید کردن ترکیب‌های گوناگون و آلاینده‌های محیطی پایدار، نگاه بسیاری را در زمینه زیست بهسازی به سوی خود جلب کرده است. با نگاه به پایداری کم و هزینه‌های ساخت و فراوری بالای آنزیم‌ها، بی‌جنب‌سازی آنها بر رویه نگهدارنده‌ها می‌تواند راهی شایسته در راستای افزایش پایداری کارکرد آنزیم باشد. برای بررسی برهم‌کنش لاکاز گرفته شده از قارچ Trametes versicolor (Trametes versicolor) با کانی‌های مونتموریلونیت و زئولیت سه آزمایش جداگانه در قالب طرح کاملاً تصادفی با دو تکرار در شرایط آزمایشگاهی انجام شد. آزمایش‌ها به ترتیب شامل چهار سطح pH (5.6, 7, 8 و 9)، نه سطح دمایی (4 و 8-10 درجه سانتیگراد) و هفت سطح زمان انکوباسیون (صفر، 1, 2, 5, 10, 20 و 30 روز) بودند. بر پایه آزمایش نخست، بالاترین اندازه جذب آنزیم بر رویه‌های کانی‌های بررسی شده در pH=5 دیده شد و با افزایش pH جذب آنزیمی کاهش یافت. در آزمایش دوم، بالاترین اندازه فعالیت نسبی برای لاکاز آزاد در دمای 20 درجه سانتیگراد، برای لاکاز بی‌جنب‌شده بر مونتموریلونیت در دماهای 80 و 4 درجه سانتیگراد و برای لاکاز بی‌جنب‌شده بر زئولیت در دماهای 4 و 70 درجه سانتیگراد بود. لاکاز بی‌جنب‌شده پایداری خوبی را در برابر دماهای پایین و بالا نشان داد. در آزمایش سوم، بالاترین اندازه فعالیت نسبی (100 درصد) برای لاکاز بی‌جنب‌شده بر مونتموریلونیت و زئولیت در زمان انکوباسیون 20 روز و برای لاکاز آزاد در زمان 5 روز دیده شد. برپایه این پژوهش، بی‌جنب‌سازی پیامد شایسته‌ای را بر پایداری فعالیت آنزیم لاکاز نشان داد.

واژه‌های کلیدی: پایداری، زئولیت، بی‌جنب‌سازی، فعالیت، لاکاز و مونتموریلونیت

^۱. نویسنده مسئول، آدرس: مشهد، میدان آزادی، دانشگاه فردوسی، دانشکده کشاورزی، گروه مهندسی علوم خاک

مقدمه

خاک محیط پیچیده و پویایی است که رخدادهای شگرفی در هر بخشی از زمان در بخش های گوناگون آن روی می دهد. در این میان، واکنش هایی که میان ترکیب های آلی خاک و کانی های گوناگون رخ می دهد، نگاه بسیاری را به سوی خود کشیده است. آنزیمهای خاک از مهمترین ترکیب های پروتئینی هستند که بسیاری از پژوهشگران به بررسی آنها پرداخته اند.

از گروه مهمترین آنزیمهایی که در سال های گذشته نگاه بسیاری از پژوهشگران را به سوی خود کشیده است، آنزیم لاکاز آزاد و بی جنبش شده می باشد. بیشتر این کارها وابسته به توانایی ویژه این آنزیمهای در اکسید کردن ترکیب های فنولی و غیر فنولی گوناگون و همچنین آلاینده های محیطی بسیار پایدار است که آنها را برای کاربرد در فرآیندهای گوناگون بیوتکنولوژیکی بسیار شایسته می سازد (رودریگز-کوتو و توکا-هررا، 2006). کارایی بالای آنزیم لاکاز بر گروه گسترده ای از بسترهای گوناگون و توانایی آن برای اکسید کردن بسیاری از آلاینده ها، نشان داده است که این یک آنزیم ویژه و برتر برای کاربرد در زیست بهسازی و پاکسازی خاک از علف کش ها، آفت کش ها و مواد زیبانبار است (جیا و همکاران، 2012؛ رودریگز-کوتو و توکا-هررا، 2006).

لاکازها (1.10.3.2) EC-م-دیفنل: دی اکسیژن اکسیدور داکتاز (فریر و همکاران، 2001)، از گروه اکسیداز های آبی و بزرگترین زیر گروه از اکسیداز های چند مسی هستند (فرناندز-فرناندز و همکاران، 2013). لاکاز یک آنزیم مونومری با وزن مولکولی نزدیک 70kDa دالتن) می باشد (پیونتک و همکاران، 2002). این آنزیم، اکسیداسیون گروه گسترده ای از ترکیب های آلی مانند متوكسی فنل ها، فنل، -O- و -M- دی فنل ها، آمینوفنل ها، پلی فنل ها، پلی آمین ها و مولکول های لیگنین دارای -O-، -M- کوئینون ها یا گونه های رادیکالی را انحلام می دهد (فریر و همکاران، 2001) بدون اینکه نیاز به پراکسید هیدروژن همانند سوبسترات همراه یا هر گونه کوفاکتوری برای فعالیت کاتالیتیکی خود داشته باشد (ادوریسیو و همکاران، 2013). بنابراین آنزیم لاکاز از جایگاه ویژه ای در فرآیندهای گوناگون همچون تجزیه لیگنین (کامارو و همکاران، 2002) و یا فرآیندهای محیطی گوناگون دیگر (سرونه و همکاران، 2011) ماجنو و همکاران، (2010) برخوردار باشد. همچنین، توانایی این آنزیم در تجزیه ترکیب های فنولی، لاکازها را ابزارهایی شایسته ای برای تجزیه ترکیب های سخت تجزیه شونده و زیست بیگانه در تیمار فاضلاب ها ساخته است (فرناندز-فرناندز و

همکاران، 2013). در این راستا، لاکاز بدست آمده از قارچ *Trametes versicolor*، یکی از پر کاربرد ترین آنزیمهای فرآیندهای گوناگون می باشد (پلاگمن و همکاران، 2011؛ کابانا و همکاران، 2011؛ کورنیاواتی و نایسل، 2008؛ گو و همکاران، 2008). گزارش شده است که لاکازهای قارچی سه کاربرد می توانند داشته باشند ساخت رنگدانه، تجزیه لیگنین و زهر زدایی (لوئرا و همکاران، 2006). لاکازها، با داشتن فعالیت بالا، گرینش پذیری و اختصاصی بودن، که امکان انجام فرآیندهای شیمیایی پیچیده را تحت شرایط آزمایشگاهی و طبیعی برای آنها فراهم می آورد، کاتالیزورهای زیستی عالی برای کاربردهای بیوتکنولوژیکی و محیطی هستند (ماتئو و همکاران، 2007). در برابر آنها، بهره گیری از این آنزیمهای به سبب پایداری پایین آنها و هزینه های ساخت و فراوری بالایی که دارند، همچنان برای کاربردهای عملی اندک است (رکو و همکاران، 2009؛ هیو و همکاران، 2007) و بهره گیری از آنزیمها در مقیاس صنعتی، به سبب برخی کمبودهای ناشی از منشا زیستی آنها، همیشه آسان نیست (ادوریسیو و همکاران، 2013).

آنژیمهای قابل انحلال هستند و نمی توانند به آسانی در چرخه های واکنشی دوباره، بکار روند (ادوریسیو و همکاران، 2013). همچنین، آنها کاملاً در دماهای بالا، pH بسیار زیاد یا بهره گیری از کمک-حلال های آلی یا زهری، نایپایدار هستند (ادوریسیو و همکاران، 2013). در این میان، بی جنبش سازی لاکازها می توانند برخی از دشواری های یاد شده را از راه بهبود برخی از ویژگی های آنزیم از میان بردارد (کونامانتی و همکاران، 2008). بی جنبش سازی یک آنزیم با پیوند آن آنزیم به یک تکیه گاه نامحلول انجام می شود (آریکا و همکاران، 2009). از برتری های بی جنبش سازی لاکاز می توان افزایش پایداری دمایی آنزیم و پایداری آن در برابر شرایط افراطی و واکنشگرهای شیمیایی را یاد نمود (فرناندز-فرناندز و همکاران، 2013). افزون بر آن، لاکازهای بی جنبش شده می توانند به آسانی از محصولات واکنش جدا شوند، که این امر به آنزیمهای این امکان را می دهد تا در فرآیندهای پیوسته در راکتورهای زیستی دوباره به کار گرفته شوند (آریکا و همکاران، 2009؛ گیورگیوا و همکاران، 2008؛ آرویو، 1998). در برابر آنها، فرآیندهای بی جنبش سازی می توانند مایه دگرگونی ساختاری آنزیم، غیر یکنواختی آنزیم بر روی تکیه گاه جاذب و از دست دادن فعالیت آنها شود (آرویو، 1998). به هر گونه، این فرآیند راهی را برای سفارشی کردن ویژگی های آنزیم برای کاربردهای ویژه آن می تواند باشد (کریجوسکا، 2009).

در آلودگی زدایی از خاک‌های آلوده و محیط‌های آبی داشته باشند (نیجا و همکاران، ۲۰۰۰). با نگاه به آنچه که آمد و نیز پژوهش‌های انجام شده، بی جنبش‌سازی آنزیم لاکاز بر روی برخی از روش‌های جذبی، نه تنها می‌تواند پایداری عملکردی و ماندگاری لاکاز را افزایش دهد، بلکه می‌تواند با دگرگونی برخی ویژگی‌های این آنزیم، پیامد آن را بر تجزیه آلانینده‌ها افزایش دهد. بنابراین، تلاش‌های بسیاری برای بی جنبش‌سازی آنزیم لاکاز انجام شده است (وانگ و همکاران، ۲۰۱۳).

بر پایه آنچه که یاد شد و با توجه به پایداری کم آنزیم محلول و نیاز به دستیابی به کاتالیزورهای پایدارتر، فعالیت و پایداری آنزیم لاکاز گرفته شده از قارچ *Trametes versicolor* ورسیکالر (*Trametes versicolor*) به صورت آزاد و بی جنبش شده بر روی کانی‌های مونتموریلوئیت و زئولیت بررسی شد. همچنین، از مهمترین اهداف این پژوهش، غیرمحترک سازی آنزیم لاکاز جهت کاربرد در مصارفی چون پالایش خاک از آلانینده‌های آلی بود.

مواد و روش‌ها

فعالیت و پایداری آنزیم لاکاز گرفته شده از قارچ ترماتس ورسیکالر (*Trametes versicolor*) آزاد و بی جنبش شده بر روی کانی‌های مونتموریلوئیت و زئولیت، با بهره گیری از آزمایش‌های جداگانه بررسی شد. برای انجام این آزمایش‌ها، آنزیم لاکاز ناب گرفته شده از ۱۰U ۱.10.3.2. *T.versicolor* EC. با کارایی ویژه بیش از ۱۰ میلی گرم جامد (پودری)، ۲و ۲-آزینویس (۳-اتیل بنزوتیازولین-۶-سوئوفونیک اسید)^۳ (ABTS) و کانی مونتموریلوئیت ناب (پودر شده) با روش ویژه^۴ ۲۷۰m^۲/g-۲۲۰، از شرکت سازنده مواد شیمیایی سیگما آldrیج خریداری گردیدند. کانی زئولیت معدن سمنان تا اندازه‌ای ناب، از شرکت کهربا در شهر تهران خریداری شد و سپس خرد و آسیاب گردید. تصاویر SEM^۴ از هر دو کانی بررسی شده در آزمایشگاه مرکزی دانشگاه فردوسی مشهد آماده شد.

بی جنبش‌سازی آنزیم لاکاز بر روی کانی‌های مونتموریلوئیت و زئولیت در pHهای گوناگون

برای بررسی اثر pHهای گوناگون بر جذب آنزیم لاکاز روی کانی‌های مونتموریلوئیت و زئولیت، کمپلکس‌های لاکاز-کانی رسی در pHهای گوناگون آماده گردیدند. بی جنبش‌سازی برپایه روش روجیرو و همکاران (۱۹۸۹) و جاینفردا و بولاگ (۱۹۹۴) بر روی کانی‌های

آنزیم لاکاز تاکنون به روش‌های گوناگونی بی جنبش شده است. در برخی از این روش‌ها، آنزیم را از راه سیستم‌های گوناگون مانند به دام انداختن در پلیمرهای گوناگون همانند آجینیت (وانگ و همکاران، ۲۰۱۳) پازارلی اوغلو و همکاران، (۲۰۱۰)، دندریمراها که از پلی (آمیدو آمین)^۱ (PAMAM) (کردوزو و همکاران، ۲۰۱۲) یا ژلاتین (اینال و پازارلی اوغلو، ۲۰۱۱) بهره‌گیری می‌کنند، آماده‌سازی سیستم‌های گوناگون همانند لیپوزوم‌ها (پرووتو و فرقه، ۲۰۱۲)، میکروکپسول‌ها (ساووالین و همکاران، ۲۰۱۱) یا توده‌های آنزیمی دارای اتصال عرضی^۲ (CLEAs) (ماتیجوسیته و همکاران، ۲۰۱۰)، بی جنبش نموده‌اند. هر چند، سیستمی که بیشتر بکار رفته است، بهره گیری از تکیه‌گاه‌های جذبی گوناگون برای بی جنبش‌سازی آنزیم را شامل می‌شود (آدورسیو و همکاران، ۲۰۱۳). گستره وسیعی از تکیه‌گاه‌ها وجود دارد که برای بی جنبش‌سازی بهره گیری شده‌اند، همانند مهره‌های آمبریلت IR-120H (اسپینلی و همکاران، ۲۰۱۳) غشاهای آنزیمی (چنا و همکاران، ۲۰۱۲)، ریزولوهای کربنی اکسیده و اکسیدهای گرافن (پارک و همکاران، ۲۰۱۲)، تورتولینی و همکاران، (۲۰۱۲)، رزین‌های سولفو پلی استر (ویرستان و همکاران، ۲۰۱۲)، رزین‌های تبادلی (زانگ و همکاران، ۲۰۱۲)، نانوذرات مغناطیسی (کالکان و همکاران، ۲۰۱۲)، بایرام اوغلو و همکاران، (۲۰۱۰a,b) و کانی‌های رسی گوناگون (وانگ و همکاران، ۲۰۱۳؛ نیجا و همکاران، ۱۹۹۷؛ لونسوایز و همکاران، ۱۹۸۸؛ شاتل ورث و بولاگ، ۱۹۸۶).

برخی نتایج گزارش شده بیان می‌کنند که پایداری پدید آمده در بی جنبش‌سازی، نزدیک ۱۰-۱۵ برابر بهتر از آنزیم محلول است (کابنا و همکاران، ۲۰۱۱؛ کاراگوز و همکاران، ۲۰۱۱). در اینمیان، آنزیم‌ها کانی رسی و برهمکنش‌های آنها، کارکرد ویژه‌ای را در دگرگونی ترکیب‌های آلی طبیعی یا ساخت دست بشر در خاک دارند (نیجا و همکاران، ۲۰۰۰). به هر گونه، سرشت برهم کنش‌های آنزیم با بخش‌های خاک همچنان روش نیست. فعالیت‌های گستره کشاورزی و صنعتی، می‌تواند به پیدایش مواد گوناگون زیانبار برای جانداران به درون محیط‌های خاک و زیرزمینی شوند که بیشتر آنها ترکیبی از مولکول‌های پایدار می‌باشند (فیلیپوکلوس، ۱۹۹۵). افزون بر کارکرد ریزجانداران در فرآیندهای زیست بهسازی، هم آنزیم‌ها و هم کلوئیدهای کانی فعل، چه جدگانه و چه در پیوند باهم، می‌توانند کارایی ویژه‌ای را

³. 2,2'-azino-bis(3-ethylbenzthiazoline-6-sulfonic acid)

⁴. Scanning Electron Microscopy

1. Polyamidoamine

2. Cross-linked enzyme aggregates

ΔE برابر با افزایش جذب در هر دقیقه، V_t و V_s به ترتیب برابر با حجم کل و حجم نمونه در کوت (میلی لیتر) و ضریب جذب (ϵ_{420}) برابر با 36000 لیتر بر مول در سانتیمتر می‌باشد.

بررسی پایداری آنزیم‌های لاکاز آزاد و جذب شده بر رویه‌های کانی‌ها

برای بررسی پایداری آنزیم‌های لاکاز آزاد و جذب شده، دو آزمایش جداگانه، با در نظر گرفتن شرایط بهینه تعیین شده، در قالب طرح کاملاً تصادفی در سه تکرار انجام شد. بی جنبش‌سازی آنزیم برپایه روش روجیرو و همکاران (1989) و جاینفردا و بولاگ (1994) انجام شد؛ به گونه‌ای که در بخش پیش یاد گردید. پیامد فاکتورهای آزمایشی که به ترتیب شامل نه سطح دمایی (4, 10-80 و 10 درجه سانتیگراد) و هفت سطح زمان انکوباسیون (صفر، 1, 2, 5, 10, 20 و 30 روز) بودند، بر فعالیت آنزیم آزاد و بی جنبش شده در دو کانی مونتموریلونیت و زئولیت، در دو آزمایش جداگانه بررسی شدند. لازم به ذکر است که نمونه‌های آنزیم-رس برای انجام آزمایش‌های ذکر شده، در داخل بافر نگهداری شدند و محل نگهداری آنها در آزمایش سوم (زمان انکوباسیون) داخل یخچال و دمای 4 درجه سانتیگراد بود. برای تمامی آزمایش‌ها، نمونه‌های محتوی آنزیم لاکاز آزاد (فاقد رس) نیز در نظر گرفته شد.

اندازه‌گیری فعالیت آنزیم لاکاز

فعالیت لاکاز آزاد و بی جنبش شده در دمای اتاق با بهره‌گیری از بستره ABTS (2-آزینویس-3-اتیل بنزو-تیازولین-6-سو-لوفونیک اسید) تعیین شد (لو و همکاران، 2007). واکنش با افزودن یک میلی لیتر از ABTS یک میلی مولار به مقدار مناسب از بافر 0/1 مولار فسفات یا استات (با pH بهینه برای لاکاز آزاد یا بی جنبش شده) که خود دارای اندازه ویژه‌ای از لاکاز آزاد یا بی جنبش شده بود، آغاز گردید. مقدار لاکاز آزاد و بی جنبش شده به نحوی انتخاب شد که جذب محصول واکنش در دامنه خطی دستگاه اسپکتروفوتومتر مورد بهره گیری در آزمایش (مدل WPA S2000UV/Vis) قرار گیرد. اکسیداسیون ABTS با افزایش جذب در 420 نانومتر دنبال شد. لازم به ذکر است که مدت زمان انجام واکنش آزمایمی 10 دقیقه بود. نمونه شاهد برای هر دو آنزیم آزاد و بی جنبش شده، محتوی مقادیر یکسانی از لاکاز طبع برگشته (داناتوره شده) تحت گرمای هر دو دناتوره شده در گرمای از راه جوشاندن آنزیم آزاد در 100 درجه سانتیگراد برای 10 دقیقه بدست آمد.

مونتموریلونیت و زئولیت انجام شد. در این کار، 200 میلی گرم کانی در دمای 45 درجه سانتیگراد با 5 میلی لیتر از 0/5 HNO₃ نرمال به مدت 2 ساعت تکان داده شد و سپس در 13000g 13000 سانتریفوژ شده و با آب مقطر شسته شد. پس از رسیدن محلول رویی به pH خشی، 5 میلی لیتر از 3-آمینو پروپیل تری اتوکسی زیلان 2 درصد ساخته شده در استون ناب به آن افزوده شد و این سوسپانسیون یک شب در دمای 45 درجه سانتیگراد تکان داده شد. سپس نمونه‌ها سانتریفوژ شدند و فاز جامد با 5 میلی لیتر از محلول گلوتارآلدهید 5 درصد در بافر 0/1 مولار (pH معادل با 5 استات سدیم و pHهای بالاتر از 5 فسفات سدیم) با pH پیغامرسی شده (pHهای 7, 6, 5, 4) تیمار شده و برای زدودن حباب‌های هوای به دام افتاده، در دسیکاتور خلا گذاشته شد و در دمای اتاق برای 1 ساعت نگهداری گردید.

گلوتارآلدهید ترکیبی بشارعه عالی برای اتصال عرضی معرفی شده است که منجر به حل نشدن و ماندگاری ترکیبات پروتئینی شده و نسبتاً، تثبیت ساختار سلولی بدون تغییر شکل را منجر می‌شود. در عین حال، فعالیت آزمایمی به نحو قابل توجهی حفظ می‌گردد (حیب و هیراموتو، 1968). گلوتارآلدهید آزاد از طریق 2 بار شستشو با 5 میلی لیتر از هر یک از آب مقطر و بافر فسفات زدوده شد. دو میلی لیتر محلول بافر با pHهای آزمایشی دارای 1 میلی گرم آنزیم به رس تیمار شده معلق در بافر افروده شد. این سوسپانسیون برای 24 ساعت در دمای 25 درجه سانتیگراد تکان داده شد و کانی از راه سانتریفوژ بازیافت و با بافر شسته شد تا زمانی که در محلول‌های شستشو، فعالیت لاکاز دیده نشد. دوباره نمونه‌ها در بافر معلق شده و تا زمان بهره‌گیری در دمای 4 درجه سانتیگراد نگهداری شدند (آن و همکاران، 2002). مقدار لاکاز پیوند شده فعال بر رویه‌های کانی‌ها از تفاوت بین مقدار فعالیت اولیه آزمایمی با فعالیت در محلول رویی سوسپانسیون‌ها در هر نمونه آزمایشی به دست آمد (لای و همکاران، 2013). درصد فعالیت نسبی نیز بر اساس فعالیت نسبی اندازه‌گیری شده در تیمارهای مختلف نسبت به فعالیت نسبی بیشینه اندازه‌گیری شده در هر تیمار سنجیده شد. فعالیت نسبی نیز مطابق معادله زیر به دست آمد:

$$A \left(\text{U L}^{-1} \right) = \frac{\Delta EV_t}{0.036V_s}$$

در این معادله، A (یونیت) برابر با فعالیت آزمایمی (یک یونیت از فعالیت لاکاز عبارت است از اندازه آنزیم لازم برای اکسید کردن یک میکرومول ABTS در دقیقه)،

نتایج بدست آمده از آزمایش با بهره‌گیری از نرم افزار آماری MSTATC آنالیز و میانگین داده‌ها با بهره‌گیری از آزمون چند دامنه‌ای دانکن مقایسه گردیدند.

نتایج و بحث

به دنبال آماده کردن کانی‌های زئولیت و مونتموریلونیت و پس از خرد کردن کانی زئولیت، تصاویر میکروسکوپی نمونه‌های بررسی شده با بهره‌گیری از میکروسکوپ الکترونی روبشی^۱ (SEM) آماده گردیدند. شکل‌های ۱-A و ۱-B ترتیب تصاویر میکروسکوپی کانی‌های زئولیت و مونتموریلونیت را نشان می‌دهند. پس از آنالیز کانی‌های بررسی شده، بازه اندازه ذرات کانی‌های زئولیت و مونتموریلونیت کمتر از ۱۰ میکرومتر به دست آمد و در این بین، ذرات کانی مونتموریلونیت نسبت به زئولیت، اندکی ریزتر بودند.

از آنجایی که در بسیاری از پژوهش‌ها در بررسی برهم کنش آنزیم و کانی رسی، دانه‌های با اندازه بزرگتر نیز بکار رفته‌اند، بنابراین اندازه دانه کانی‌های بررسی شده در بازه شایسته برای این گونه بررسی‌ها بودند. برای نمونه می‌توان از پژوهش‌های مک بول و اتو (1979) پیرامون برهم کنش فسفاتاز اسیدی با کانی‌های رسی مونتموریلونیت، ایلیت و کائولینیت یاد کرد. آنها بازه اندازه دانه‌های کانی‌های بکار رفته در این بررسی را کوچکتر از ۶۳ میکرومتر گزارش نمودند.

اثر pH بر اندازه جذب آنزیم لاکاز روی کانی‌های مونتموریلونیت و زئولیت

جدول ۱، اندازه جذب آنزیم لاکاز بر رویه های کانی‌های زئولیت و مونتموریلونیت را در pHهای گوناگون نشان می‌دهد. بیشترین اندازه جذب آنزیم بر رویه‌های هر دو کانی در pH=5 دیده شد که تفاوت آماری معنی‌داری را با سایر رویه های pH نشان داد و بنابراین به عنوان pH بهینه جهت بی جنبش‌سازی آنزیم در آزمایش‌های دما و زمان انکوباسیون مورد بهره‌گیری قرار گرفت. با مقایسه کانی‌های بررسی شده، کانی مونتموریلونیت با اندازه جذب آنزیمی معادل با ۶۴/۶۱ درصد، بیشترین اندازه جذب را دارا بود که این اندازه نزدیک ۲۷/۶۳ درصد بیشتر از جذب در کانی زئولیت بود. پژوهش‌های مشابه انجام شده در این زمینه نیز مقادیر گوناگون جذب آنزیم، تحت شرایط گوناگون آزمایش، از جمله مقادیر متفاوت pH و یا کاربرد انواع گوناگون جاذب را نشان داده‌اند. در این راستا، جاینفردا و بولگار (1994) در یک بررسی، پس از کاربرد ۰/۸۸ میلی‌گرم

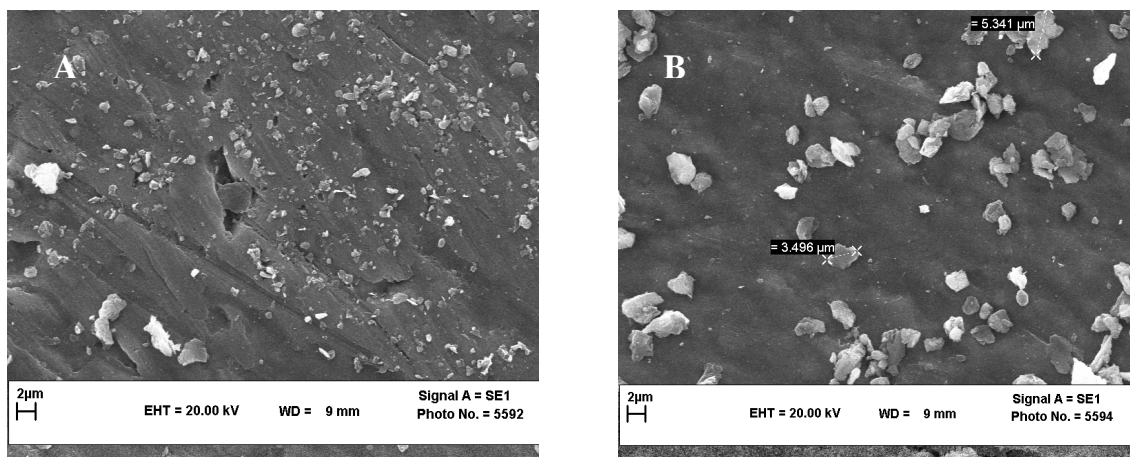
آنزیم لاکاز (*Trametesversicolor*) اولیه جهت بی جنبش‌سازی بر روی ۲۰۰ میلی‌گرم از هر یک از چهار تکیه‌گاه جاذب گلس بیدز^۲، مونتموریلونیت، کائولینیت و خاک در pH=7، مقادیر گوناگون جذب آنزیم بر رویه نگهدارنده‌ها را گزارش نمودند. بر پایه نتایج آنها به ترتیب ۵۶، ۷۱، ۶۴ و ۷۳ درصد از آنزیم لاکاز بکار برد شده، بر روی جاذب‌های گلس بیدز، مونتموریلونیت، کائولینیت و خاک جذب شد.

همچنین، از نکات جالب توجه که بر پایه جدول ۱ می‌توان از آن یاد کرد، بود جذب آنزیم لاکاز بر روی جاذب‌ها، در pH=8 می‌باشد. این امر می‌تواند ناشی از دلایل گوناگون باشد. از مهمترین این دلایل می‌توان به بهره‌گیری از گلوتارتآلدهید جهت بی جنبش‌سازی آنزیم اشاره نمود. بی جنبش‌سازی به وسیله پیوند کوالاس به جاذب نامحلول در آب، با بهره‌گیری از گلوتارتآلدهید، ساده‌ترین و ملایم‌ترین روش اتصال آنزیم به این جاذب‌ها می‌باشد و واکنش آنزیم با گلوتارتآلدهید جهت بی جنبش شدن، فرآیندی وابسته به pH است (ویتل، ۱۹۷۴؛ حبیب و هیراموتو، ۱۹۶۸). مطالعات انجام شده در این زمینه نیز موید این مطلب هستند. در این راستا، جانسن و همکاران (1971) طی مطالعه‌ای نشان دادند که مقادیر pH برای نامحلول‌سازی سریع توسط گلوتارتآلدهید، برای آنزیم‌های لیزوزیم (EC3.2.1.17) و پاپایین (2)، تقریباً مشابه نقاط ایزوکتریک^۳ این پروتئین‌ها بود، در حالیکه سرعت این فرآیند برای آنزیم کایموتریپسین (EC 3.4.21.1) در pH=6/2 بیشترین اندازه بود که این اندازه زیر نقطه ایزوکتریک این آنزیم قرار داشت (PI=6/6). با توجه به اینکه نقطه ایزوکتریک لاکازهای قارچی در گستره ۳-۷ قرار دارد (مداوی و لمد، ۲۰۰۹)، علت عدم مشاهده جذب آنزیم لاکاز در pH=8 را احتمالاً می‌توان به خارج از محدوده بودن این pH از گستره نقاط ایزوکتریک آنزیم لاکاز و عدم جذب این آنزیم در pHهای بالا نسبت داد. اینال و کولانکایا (2013) نیز طی مطالعه‌ای به بررسی شرایط بهینه بی جنبش‌سازی لاکاز (Trametesversicolor) (با مهره‌های سدیم آلجنینت پرداختند. آنها مشاهده نمودند که فعالیت نسی آنزیم با افزایش pH در بازه ۳-۴/۵، افزایش یافت و با افزایش pH در بازه ۵-۱۰، فعالیت آنزیم و نیز درصد بی جنبش‌سازی کاهش یافت.

². Glass beads

³. Isoelectric Point (IP)

¹. Scanning Electron Microscope



شکل ۱- تصویر SEM از ذرات کانی زئولیت (A) و مونتموریلونیت (B)

جدول ۱- بی جنبش سازی آنزیم لاکاز (*Trametesversicolor*) بر روی کانی های مونتموریلونیت و زئولیت

آنزیم جذب شده (درصد) از یک میلی گرم آنزیم لاکاز اولیه						نوع کانی
pH=8	SD	pH=7	SD	pH=6	SD	
-	0/7	35/33 ^c	0/5	40/30 ^b	0/1	مونتموریلونیت
-	1/91	5/47 ^c	0/26	36/72 ^B	1/23	زئولیت

* (حروف بزرگ و کوچک نشان دهنده مقایسه آماری جدایی بین کانی ها می باشد) (p≤0/05)

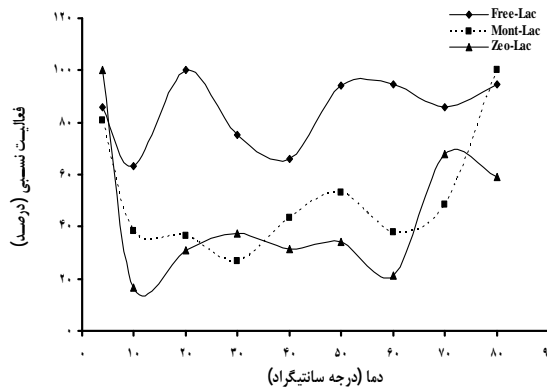
**: انحراف معیار داده ها

اثر دمای انکوباسیون بر فعالیت آنزیم لاکاز آزاد و جذب شده

بالاتر و بنابراین پایداری خوبی برخوردار بود. اما اینکه چرا دماهای بالاترین فعالیت نسبی برای لاکاز بی جنبش شده بر کانی مونتموریلونیت و زئولیت با هم متفاوت بودند، می تواند بنابر دلایل گوناگونی باشد. احتمالاً، عواملی همچون نوع کانی، اندازه ذرات، شکل ساختمانی کانی و حتی پاسخ کانی ها به پیش تیمارها قبل از اتصال آنزیم، می توانند تأثیر گذار باشند.

پژوهش های انجام شده نیز حاکی از پایداری های دمایی گوناگون آنزیم لاکاز بی جنبش شده، بسته به شرایط آزمایش از جمله منبع آنزیم و نوع جاذب می باشد. برای نمونه، سینگ و همکاران (2010) با بررسی ویژگی های لاکاز *JB*-*γ-proteobacterium* بی جنبش شده بر غشاء نیتروسلولز، دمای بهینه برای فعالیت آنزیم بی جنبش شده را 55 درجه سانتیگراد گزارش نمودند. همچنین، پژوهش آنها نشان داد که لاکاز بی جنبش شده بر غشاء های نیتروسلولز، در بازه دمایی 4-30 درجه سانتیگراد برای سه ماه، 100 درصد پایدار بود.

اثر دماهای گوناگون انکوباسیون بر فعالیت آنزیم لاکاز آزاد و بی جنبش شده بر روی های کانی های زئولیت و مونتموریلونیت در شکل 2 نشان داده شده است. بر پایه شکل، فعالیت آنزیمی لاکاز آزاد و بی جنبش شده، در گستره دمایی بررسی شده (4 و 80-10 درجه سانتیگراد) و در pH ۷ بهینه، وابستگی دمایی قابل توجهی را نشان داد. مطابق شکل، بالاترین اندازه فعالیت نسبی دیده شده برای آنزیم لاکاز آزاد متعلق به دمای 20 درجه سانتیگراد (100 درصد) بود. همچنین، بالاترین فعالیت نسبی برای لاکاز بی جنبش شده بر کانی مونتموریلونیت، در دماهای 80 و 4 درجه سانتیگراد (به ترتیب 100 و 80/97 درصد) و برای لاکاز بی جنبش شده بر زئولیت در دمای 4 و 70 درجه سانتیگراد (100 و 67/96 درصد) مشاهده گردید. با مقایسه نمودارهای در لاکازهای بی جنبش شده، به نظر می رسد که این آنزیم در ابتدا و انتهای گستره دمایی بررسی شده (دماهای بسیار بالا و پایین) از فعالیت نسبی



شکل ۲- اثر دماهای انکوباسیون گوناگون بر فعالیت آنزیم لاکاز آزاد (Free-Lac) و بی‌جنش‌شده روی کانی‌های مونتموریلونیت (Zeo-Lac) و زئولیت (Mont-Lac)

قلیایی و فسفاتاز اسیدی بر رویه کانی‌های رسی، با افزایش دما اشاره نمود (طرفدار و چانکار، ۱۹۸۲). بنابراین، شاید بتوان یکی از عوامل افزایش فعالیت نسبی آنزیم لاکاز جذب شده بر روی گاذب‌ها در دماهای بالا را به وجود مقادیر بیشتر آنزیم فعال در رویه کانی‌ها به سبب افزایش میزان جذب آنزیم در چنین شرایطی نسبت داد. لازم به ذکر است که نوسانات مشاهده شده در شکل ۲ می‌تواند امور مختلفی از جمله بهبود یا زوال ساختار آنزیمی (به ویژه در مورد آنزیم لاکاز آزاد) را در محیط دریگیر کند آن، در دماهای مختلف در گیر نماید. در حقیقت، برهمکنش عواملی چون افزایش پایداری آنزیم در دماهای بالا و پایین، افزایش احتمالی جذب آنزیم بر سطوح کانی‌ها با افزایش دما و نیز تغییر ساختار آنزیمی بسته به دما می‌تواند منجر به این نوسانات گردد.

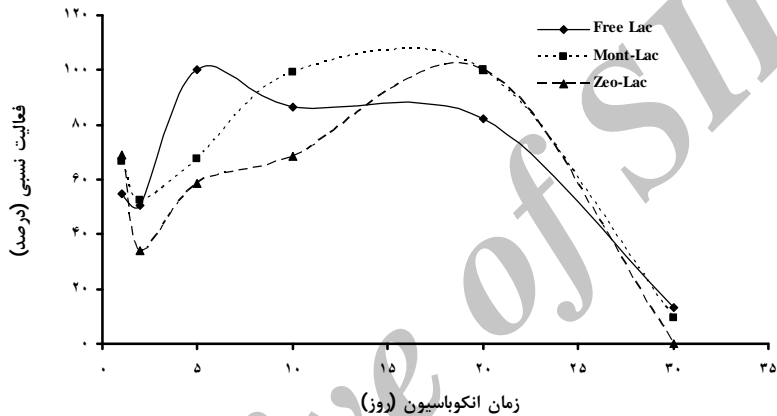
اثر زمان انکوباسیون بر فعالیت آنزیم لاکاز آزاد و جذب شده

شکل ۳ اثر زمان‌های گوناگون انکوباسیون را بر فعالیت آنزیم لاکاز آزاد و بی‌جنش‌شده بر رویه کانی‌های زئولیت و مونتموریلونیت در دمای ۴ درجه سانتیگراد نشان می‌دهد. از نکات جالب توجهی که می‌توان بدان اشاره نمود این است که بیشترین فعالیت آنزیمی دیده شده برای آنزیم لاکاز آزاد در زمان‌های انکوباسیون ۵ (۱۰۰ درصد)، ۱۰ (۸۶/۴ درصد) و ۲۰ روز (۸۲/۳ درصد)، برای آنزیم‌های بی‌جنش‌شده بر رویه کانی مونتموریلونیت در زمان‌های انکوباسیون ۱۰ (۹۹/۰ درصد) و ۲۰ روز (۱۰۰ درصد) و برای آنزیم‌های بی‌جنش‌شده بر رویه کانی زئولیت در زمان انکوباسیون ۲۰ روز (۱۰۰ درصد) بود. در حقیقت، با گذشت زمان، فعالیت آنزیمی افزایش را نشان داد که این افزایش برای

هیو و همکاران (2007) نیز با انجام مطالعه‌ای مقایسه‌ای پیرامون لاکاز (*Trametes versicolor*) بی‌جنش‌شده بر ذرات نانوی سیلیس مزوپور شش ضلعی (SBA-15) و کائولینیت، مشاهده نمودند که لاکاز بی‌جنش‌شده بر ذرات نانو در مقایسه با آنزیم‌های بی‌جنش‌شده بر کائولینیت، فعالیت آنزیمی بالاتری را در دماهای نسبتاً پایین‌تر (۳۵-۴۵ درجه سانتیگراد) نشان دادند، اما به طور کلی، دماهای بهینه جهت فعالیت نسبی بیشینه برای تمامی لاکازهای بی‌جنش‌شده در گستره ۵۰-۴۵ درجه سانتیگراد قرار داشت. بر پایه هیو و همکاران (2007)، اتصال کرووالانسی منجر به الحق آنزیم به درون ماتریس رس می‌شود. در این راستا، هر چه ذرات کوچکتر باشند، توانایی آنها برای پیوند با آنزیم و کاهش اثر محدودیت پخشیدگی، بیشتر است (هیو و همکاران، 2007) و این امر می‌تواند بر پایداری دمایی آنها بیفزاید. آنها بر پایه جیانگ و همکاران (2005)، کاهش فعالیت آنزیمی دیده شده متاثر از دما را به عدم پایداری آنزیم بی‌جنش‌شده تحت شرایط دمایی اعمال شده و بنابراین کاهش توانایی کاتالیزوری آنزیم نسبت دادند. از طرفی، بر پایه مطالعات ستینوس و اوختوب (2003)، پایداری دمایی بالای آنزیم‌های بی‌جنش‌شده در برابر آنزیم آزاد می‌تواند ناشی از کاهش انعطاف‌پذیری ساختاری در آنزیم بی‌جنش‌شده باشد. گلدرسین (1973) نیز با مطالعه آنزیم اوره‌آز، پایداری بالای آنزیم جذب شده در دماهای بالا ناشی از جلوگیری احتمالی از هضم خود به خودی آنزیم جذب شده دانست (آنیتا و همکاران، ۱۹۹۷؛ گلدرسین، ۱۹۷۳). از نکات جالب توجه که از مطالعات صورت گرفته در این زمینه قابل دریافت است می‌توان به افزایش احتمالی میزان جذب آنزیم‌ها از جمله اوره‌آز، فسفاتاز

۱، ۱۰ و ۲۰ روز بیشتر از آنزیم لاکاز آزاد مشاهده گردید. به نظر می رسد که کانی مونتموریلونیت در حفظ فعالیت لاکاز بی جنبش شده، بهتر از زئولیت عمل کرده است. بر پایه پژوهش های انجام شده، پایداری افزایش یافته در لاکاز بی جنبش شده می تواند به دلیل ممانعت از نوآرایی ساختاری و انعطاف پذیری کمتر آنزیم بی جنبش شده باشد که هر دوی این عوامل ناشی از اتصال چند نقطه ای به جاذب می باشد (برندی و همکاران، ۲۰۰۶). همچنین، بهره گیری از گلوتارآلدهید، بهبود در پایداری عملکردی آنزیم و پایداری در برابر عوامل دنا توره کننده (طبع برگشتگی) را سبب می شود (ریکاچ و همکاران، ۲۰۰۹).

لاکاز بی جنبش شده بر رویه نگهدارنده ها در بازه زمانی ۲۰-۲۰ روز کاملا مشهود بود. لازم به ذکر است که آنزیم لاکاز در هر دو حالت آزاد و بی جنبش شده، در زمان ۳۰ روز انکوباسیون، با افت شدید فعالیت مواجه گردید به نحوی که اندازه فعالیت نسبی دیده شده در این زمان، برای لاکاز آزاد و بی جنبش شده بر رویه های کانی های مونتموریلونیت و زئولیت به ترتیب $13/0$ و $9/6$ و صفر درصد بود. با مقایسه فعالیت نسبی آنزیم های لاکاز آزاد و بی جنبش شده در زمان های انکوباسیون بررسی شده، اندازه فعالیت آنزیم لاکاز بی جنبش شده بر زئولیت در زمان های انکوباسیون ۱ و ۲۰ روز و اندازه فعالیت آنزیم بی جنبش شده بر مونتموریلونیت در زمان های انکوباسیون



شکل ۳- اثر زمان های انکوباسیون گوناگون بر فعالیت آنزیم لاکاز آزاد (Free-Lac) و بی جنبش شده روی کانی های مونتموریلونیت (Mont-Lac) و زئولیت (Zeo-Lac) در دمای ۴ درجه سانتیگراد

ترتیب ۴۵، ۲۱ و ۲۷ درصد گزارش نمودند. لی و همکاران (۲۰۱۵) نیز با در نظر گرفتن بازه زمانی صفر تا ۱۰۰ روز، تغییرات فعالیت نسبی لاکاز بی جنبش شده بر یک جاذب نانو کامپوزیت شده ZnO/SiO_2 جدید را در دمای ۲۵ درجه سانتیگراد مورد بررسی قرار دادند. بر پایه نتایج آنها، بی جنبش سازی لاکاز بر روی این جاذب، تقریباً ۸۰ درصد فعالیت اولیه آن را پس از سه ماه انکوباسیون حفظ نمود. میسائو و همکاران (۲۰۱۴) نیز طی مطالعه ای پیرامون بی جنبش سازی اینولیناز تجاری بر مهره های آلجنیت-کیتوزان، تأثیر زمان انکوباسیون را نیز بر فعالیت نسبی آنزیم بی جنبش شده مورد بررسی قرار دادند. بر پایه نتایج آنها، آنزیم بی جنبش شده بیش از ۷۶ درصد از فعالیت خود را برای ۶ روز در دمای اتاق حفظ نمود. آنها اظهار کردند که این حفظ فعالیت می توانست در دماهای پایین تر، برای مثال ۴-۵ درجه سانتیگراد، بهبود یابد. همچنین، نتایج آنها نشان داد که آنزیم بی جنبش شده عملاً

پژوهش های گوناگونی در این زمینه با در نظر گرفتن شرایط آزمایشی متنوع همچون زمان های انکوباسیون متفاوت انجام شده اند که نتایج آنها در خور توجه هستند. در این راستا، وانگ و همکاران (۲۰۱۳)، فعالیت لاکاز بی جنبش شده بر کمپلکس های TiO_2 - مونتموریلونیت را مورد بررسی قرار دادند. آنها پایداری آنزیم بی جنبش شده را در دمای ۴ درجه سانتیگراد و $\text{pH}=4/5$ ، در فواصل زمانی منظم تا ۲۶ روز بررسی شده قرار دادند. بر پایه نتایج آنها، فعالیت نسبی آنزیم لاکاز آزاد و بی جنبش شده بر جاذب های مونتموریلونیت، TiO_2 - مونتموریلونیت و TiO_2 - مونتموریلونیت- TiO_2 ۸۰۰ کلسینه شده در دمای ۸۰۰ درجه سانتیگراد) با افزایش زمان انکوباسیون کاهش یافت. با اینحال، آنها ماندگاری فعالیت آنزیم بی جنبش شده بر مونتموریلونیت، TiO_2 - مونتموریلونیت و TiO_2 - مونتموریلونیت را پس از گذشت ۲۰ روز از زمان انکوباسیون و در دمای اتاق، به

تمام فعالیت خود را پس از 20 روز در دمای اتاق از دست داد و فعالیت نسبی آن تنها 20 درصد بود.

نتیجه گیری

بر پایه نتایج بدست آمده از این پژوهش، عوامل گوناگون همچون اندازه pH در حین بی‌جنیش‌سازی یک پروتئین از جمله آنزیم می‌توانند بر اندازه جذب آن بر رویه‌های گوناگون اثر بگذارند. مشاهدات مبتنی بر این پژوهش حاکی از جذب حداقل آنزیم لاکاز بر رویه‌های دو کانی مونتموریلونیت و زئولیت در pH=5 بود. نتایج بدست آمده از این پژوهش، رفتارهای گوناگون آنزیم لاکاز پس از جذب شدن بر رویه‌های مونتموریلونیت و زئولیت را نیز تحت شرایط آزمایشی نشان دادند. بالاترین اندازه فعالیت آنزیم آزاد در دمای 20 درجه سانتیگراد دیده شد درحالیکه دمای فعالیت بیشینه برای آنزیم جذب شده بر رویه کانی مونتموریلونیت 80 و 4 و برای زئولیت

فهرست منابع:

1. Addorisio, V., Sannino, F., Mateoa, C. and Guisan, J.M. 2013. Oxidation of phenyl compounds using strongly stable immobilized-stabilized laccase from *Trametes versicolor*. *Process Biochemistry* 48:1174–1180.
2. Ahn, M.Y. Dec, J. Kim, J. E. and Bollag, J. M. 2002. Bioremediation and Biodegradation, Treatment of 2,4-Dichlorophenol Polluted Soil with Free and Immobilized Laccase. *Journal of Environmental Quality* 31:1509-1515.
3. Anita, A., Sastry, C.A. and Hashim, M.A. 1997. Immobilization of urease on vermiculite. *Bioprocess Engineering* 16:375-380.
4. Arica, M.Y., Altintas, B. and Bayramoglu, G. 2009. Immobilization of laccase onto spacer-arm attached non-porous poly(GMA/EGDMA) beads: application for textile dye degradation. *Bioresource Technology* 100:665–9.
5. Arroyo, M. 1998. Inmovilización de enzimas. Fundamentos, métodos y aplicaciones. *Ars Pharmaceutica* 39:23–39.
6. Bayramoglu, G., Yilmaz, M. and Arica, M.Y. 2010a. Preparation and characterization of epoxyfunctionalized magnetic chitosan beads: laccase immobilized for degradation of reactive dyes. *Bioprocess and Biosystems Engineering* 33:439–48.
7. Bayramoglu, G., Yilmaz, M. and Arica, M.Y. 2010b. Reversible immobilization of laccase to poly(4-vinylpyridine) grafted and Cu(II) chelated magnetic beads: biodegradation of reactive dyes. *Bioresource Technology* 101:6615–21.
8. Brandi, P., Annibale, A.D., Galli, C., Gentili, P. and Pontes, A.S.N. 2006. In search for practical advantages from the immobilisation of an enzyme: the case of laccase, *Journal of Molecular Catalysis B: Enzymatic* 41:61–69.
9. Cabana, H., Ahamed, A. and Leduc, R. 2011. Conjugation of laccase from the white rot fungus *Trametes versicolor* to chitosan and its utilization for the elimination of triclosan. *Bioresource Technology* 102:1656–62.
10. Camarero, S., García, O., Vidal, T., Colom, J., Del Río, J.C., Gutiérrez, A., Martínez, M.J. and Martínez, A.T. 2002. Flax pulp bleaching and residual lignin modification by laccasemediator systems. *Progress in Biotechnology* 21:213–22.

11. Cardoso, F.P., Neto, S.A., Ciancaglini, P. and De Andrade, A.R. 2012. The use of PAMAM dendrimers as a platform for laccase immobilization: kinetic characterization of the enzyme. *Applied Biochemistry and Biotechnology* 167:1854–64.
12. Cerrone, F., Barghini, P., Pesciaroli, C. and Fenice, M. 2011. Efficient removal of pollutants from olive washing wastewater in bubble-column bioreactor by *Trametes versicolor*. *Chemosphere* 84:254–9.
13. Cetinus, S.A. and Oztop, H.N. 2003. Immobilization of catalase into chemically cross-linked chitosan beads. *Enzyme and Microbial Technology* 32:889–894.
14. Chea, V., Paolucci-Jeanjean, D., Belleville, M.P. and Sanchez, J. 2012. Optimization and characterization of an enzymatic membrane for the degradation of phenolic compounds. *Catalysis Today* 193:49–56.
15. Fernández-Fernández, M., Sanromán, M.A. and Moldes, D. 2013. Recent developments and applications of immobilized laccase. *Biotechnology Advances* 31:1808–1825.
16. Flip, H. and Claus, Z. K. 1995. Effects of soil minerals on the microbial formation of enzymes and their possible use in remediation of chemically polluted sites. p. 409-419. In: P. M. Huang et al. (ed.) *Environmental impact of soil component interactions*. Vol. 1. Natural and anthropogenic organics. CRC Press/Lewis Publ., Boca Raton, FL.
17. Freire, R.S., Durán, N. and Kubota, L.T. 2001. Effects of fungal laccase immobilization procedures for the development of a biosensor for phenol compounds. *Talanta* 54:681–6.
18. Georgieva, S., Godjevargova, T., Portaccio, M., Lepore, M. and Mita, D.G. 2008. Advantages in using non-isothermal bioreactors in bioremediation of water polluted by phenol by means of immobilized laccase from *Rhus vernicifera*. *Journal of Molecular Catalysis B: Enzymatic* 55:177–84.
19. Gianfreda, L. and Bollag, J. M. 1994. Effect of Soils on the Behavior of Immobilized Enzymes. *Soil Science Society of America Journal* 58:1672-1681.
20. Gianfreda, L. and Bollag. J.M. 1994. Effect of soils on the behavior of immobilized enzymes. *Soil Science Society of America Journal* 58:1672–1681.
21. Goldstein, L. 1973. A new polymine carrier for immobilization of proteins of water insoluble derivatives of pepsin and trypsin. *Biochimica et Biophysica Acta* 327:132-137.
22. Guo, M., Lu, F., Liu, M., Li, T., Pu, J., Wang, N., et al. 2008. Purification of recombinant laccase from *Trametes versicolor* in *Pichia methanolica* and its use for the decolorization of anthraquinone dye. *Biotechnology Letters* 30:2091–6.
23. Habeeb, A.F.S.A. and Hiramoto. R. 1968. Reaction of proteins with glutaraldehyde. *Archives of Biochemistry and Biophysics* 126:16-26.
24. Hu, X., Zhao, X. and Hwang, H. 2007. Comparative study of immobilized *Trametes versicolor* laccase on nanoparticles and kaolinite. *Chemosphere* 66:1618–26.
25. Hu, X., Zhao, X. and Hwang, H.M. 2007. Comparative study of immobilized *Trametes versicolor* laccase on nanoparticles and kaolinite. *Chemosphere* 66:1618–1626.
26. Jansen, E.F., Tomimatsu, Y. and Olson, A.C. 1971. Cross-linking of α -chymotrypsin and other proteins by reaction with glutaraldehyde. *Archives of Biochemistry and Biophysics* 144:394-400.
27. Jia, J.B., Zhang, S.P., Wang, P. and Wang, H.J. 2012. Degradation of high concentration 2,4-dichlorophenol by simultaneous photocatalytic-enzymatic process using TiO₂/UV and laccase. *Journal of Hazardous Materials* 205:150–155.
28. Jiang, D.S., Long, S.Y., Huang, J., Xiao, H.Y. and Zhou, J.Y. 2005. Immobilization of *Pucnoporus sanguineus* laccase on magnetic chitosan microspheres. *Biochemical Engineering Journal* 25:15–23.

29. Kalkan, N.A., Aksoy, S., Aksoy, E.A. and Hasirci, N. 2012. Preparation of chitosan-coated magnetite nanoparticles and application for immobilization of laccase. *Journal of Applied Polymer Science* 123:707–16.
30. Karagoz, B., Bayramoglu, G., Altintas, B., Bicak, N. and Arica, M.Y. 2011. Amine functional monodisperse microbeads via precipitation polymerization of N-vinyl formamide: immobilized laccase for benzidine based dyes degradation. *Bioresource Technology* 102:6783–90.
31. Krajewska, B. 2009. Ureases. II. Properties and their customizing by enzyme immobilizations: A review. *Journal of Molecular Catalysis B: Enzymatic* 59:22–40.
32. Kunamneni, A., Ghazi, I., Camarero, S., Ballesteros, A., Plou, F.J. and Alcalde, M. 2008. Decolorization of synthetic dyes by laccase immobilized on epoxy-activated carriers. *Process Biochemistry* 43:169–78.
33. Kurniawati, S. and Nicell, J.A. 2008. Characterization of *Trametes versicolor* laccase for the transformation of aqueous phenol. *Bioresource Technology* 99:7825–34.
34. Lai, C., Zeng, G.M., Huang, D.L., Zhao, M.H., Huang, H.L., Huang, C., Wei, Z., Li, N.J., Xu, P., Zhang, C. and Xie, G.X. 2013. Effect of ABTS on the adsorption of *Trametes versicolor* laccase on alkali lignin. *International Biodeterioration and Biodegradation* 82: 180–186.
35. Leonowicz, A., Sarkar, J.M. and Bollag, J.M. 1988. Improvement in stability of an immobilized fungal laccase. *Applied Microbiology and Biotechnology* 29:129–135.
36. Li, W.X., Sun, H.Y. and Zhang, R.F. 2015. Immobilization of laccase on a novel ZnO/SiO₂ nano-composite support for dye decolorization. 2015 Global Conference on Polymer and Composite Materials (PCM 2015). IOP Conf. Series: Materials Science and Engineering 87 (2015) 012033.
37. Loera, O., Pérez Pérez, M., Cristina, I., Barbosa Rodríguez, J.R. and Villaseñor Ortega, F. 2006. Laccases. Anonymous Advances in Agricultural and Food Biotechnology. Research Signpost p. 323–40.
38. Lu, L., Zhao, M. and Wang, Y. 2007. Immobilization of laccase by alginate–chitosan microcapsules and its use in dye decolorization. *World Journal of Microbiology and Biotechnology* 23:159–166.
39. Madhavi, V. and Lele, S. S. 2009. Laccase: Properties and Applications. *BioResources* 4:1694–1717.
40. Majeau, J.A., Brar, S.K. and Tyagi, R.D. 2010. Laccases for removal of recalcitrant and emerging pollutants. *Bioresource Technology* 101:2331–50.
41. Makboul, H. E. and Ottow, J. C. G. 1979. Michaelis Constant (K_m) of Acid Phospatase as Affected by Montmorillonite, Illite, and Kaolinite Clay Minerals. *Journal of Microbial Ecology* 5:207–213.
42. Mateo, C., Palomo, J.M., Fernandez-Lorente, G., Guisan, J.M. and Fernandez-Lafuente, R. 2007. Improvement of enzyme activity, stability and selectivity via immobilization techniques. *Enzyme and Microbial Technology* 40:1451–63.
43. Matijošyte, I., Arends, I.W.C.E., de Vries, S. and Sheldon, R.A. 2010. Preparation and use of cross-linked enzyme aggregates (CLEAs) of laccases. *Journal of Molecular Catalysis B: Enzyme* 62:142–8.
44. Missau, J., Scheid, A. J., Foletto, E. L., Jahn, S. L., Mazutti, M. A. and Kuhn, R. C. 2014. Immobilization of commercial inulinase on alginate–chitosan beads. *Sustainable Chemical Processes*. 2:13.
45. Naidja, A., Huang, P.M. and Bollag, J.M. 1997. Activity of tyrosinase immobilized on hydroxylaluminum–montmorillonite complexes. *Journal of Molecular Catalysis A: Chemical* 115: 305–316.

46. Naidja, A., Huang, P.M. and Bollag, J.M. 2000. Enzyme-Clay Interactions and Their Impact on Transformations of Natural and Anthropogenic Organic Compounds in Soil. *Journal of Environmental Quality* 29:677-691.
47. Park, J.H., Xue, H., Jung, J.S. and Ryu, K. 2012. Immobilization of laccase on carbon nanomaterials. *Korean Journal of Chemical Engineering* 29:1409–12.
48. Pazarlioglu, N.K., Akkaya, A., Akdogan, H.A. and Gungor, B. 2010. Biodegradation of direct blue 15 by free and immobilized *Trametes versicolor*. *Water Environment Research* 82:579–85.
49. Piontek, K., Antorini, M. and Choinowski, T. 2002. Crystal structure of a laccase from the fungus *Trametes versicolor* at 1.90° A resolution containing a full complement of coppers. *Journal of Biological Chemistry* 277:37663-9.
50. Plagemann, R., Jonas, L. and Kragl, U. 2011. Ceramic honeycomb as support for covalent immobilization of laccase from *Trametes versicolor* and transformation of nuclear fast red. *Applied Microbiology and Biotechnology* 90:313–20.
51. Prévoteau, A. and Faure, C. 2012. Effect of onion-type multilamellar liposomes on *Trametes versicolor* laccase activity and stability. *Biochimie* 94:59–65.
52. Rekuć, A., Jastrzembska, B., Liesiene, J. and Bryjak, J. 2009. Comparative studies on immobilized laccase behaviour in packed-bed and batch reactors. *Journal of Molecular Catalysis B: Enzymatic* 57:216–223.
53. Rekuć, A., Jastrzembska, B., Liesiene, J. and Bryjak, J. 2009. Comparative studies on immobilized laccase behaviour in packed-bed and batch reactors. *Journal of Molecular Catalysis B: Enzymatic* 57:216–23.
54. Rodriguez -Couto, S. and Toca -Herrera, J.L. 2006. Industrial and biotechnological applications of laccases: A review. *Biotechnology Advances* 24:500–513.
55. Ruggiero, P., Sarkar, J.M. and Bollag. J.M. 1989. Detoxification of 2,4-dichlorophenol by a laccase immobilized on soil or clay. *Soil Science* 147:361–370.
56. Savolainen, A., Zhang, Y., Rochefort, D., Holopainen, U., Erho, T., Virtanen, J. et al. 2011. Printing of polymer microcapsules for enzyme immobilization on paper substrate. *Biomacromolecules* 12:2008–15.
57. Shuttleworth, K.L. and Bollag, J-M. 1986. Soluble and immobilized laccase as catalysts for the transformation of substituted phenols. *Enzyme and Microbial Technology* 8:171–177.
58. Singh, G., Bhalla, A., Capalash, N. and Sharma, P. 2010. Characterization of immobilized laccase from γ -proteobacterium JB: Approach towards the development of biosensor for the detection of phenolic compounds. *Indian Journal of Science and Technology* 3:48-53.
59. Spinelli, D., Fatarella, E., Di Michele, A., Pogni, R. 2013. Immobilization of fungal (*Trametes versicolor*) laccase onto Amberlite IR-120 H beads: optimization and characterization. *Process Biochemistry* 48:218–23.
60. Tarafdar, J.C. and Chhonkar, P.K. 1982. Urease Clay Interactions: I – adsorption of urease on clays saturated with different cations. *Indian Society of Soil Science* 30: 27–32.
61. Tortolini, C., Rea, S., Carota, E., Cannistraro, S. and Mazzei, F. 2012. Influence of the immobilization procedures on the electroanalytical performances of *Trametes versicolor* laccase based bioelectrode. *Microchemical Journal* 100:8–13.
62. Unal, A. and Kolankaya, N. 2013. Determination of Optimum Immobilization Conditions of *Trametes versicolor*Laccase with Sodium Alginate Beads. *IUFS Journal of Biology* 72:15-21.
63. Unal, Y.D. and Pazarlioglu, N.K. 2011. Production and gelatin entrapment of laccase from *Trametes versicolor* and its application to quantitative determination of phenolic contents of commercial fruit juices. *Food Biotechnology* 25:351–68.

64. Virtanen, H., Orelma, H., Erho, T. and Smolander, M. 2012. Development of printable bioactive paper containing laccase. *Process Biochemistry* 47:1496–502.
65. Wang, F., Guo, C. and Liu, C.Z. 2013. Immobilization of *Trametes versicolor* cultures for improving laccase production in bubble column reactor intensified by sonication. *Journal of Industrial Microbiology and Biotechnology* 40:141–50.
66. Wang, Q., Peng, L., Li, G., Zhang, P., Li, D., Huang, F. and Wei, Q. 2013. Activity of Laccase Immobilized on TiO₂-Montmorillonite Complexes. *International Journal of Molecular Sciences* 14:12520-12532.
67. Wang, Q., Peng, L., Li, G., Zhang, P., Li, D., Huang, F. and Wei, Q. 2013. Activity of Laccase Immobilized on TiO₂-Montmorillonite Complexes. *International Journal of Molecular Sciences* 14: 12520-12532.
68. Weetall, H.H. 1974. Immobilized enzymes: analytical applications. *Analytical Chemistry* 46:602A-604A.
69. Zhang, X., Zhang, S., Pan, B., Hua, M. and Zhao, X. 2012. Simple fabrication of polymer-based *Trametes versicolor* laccase for decolorization of malachite green. *Bioresource Technology* 115:16–20.